

On tractrices of planar curves

Alexey Kurnosenko

Abstract

The article is written in Russian.

Tractrices of planar curves, in particular, a family of tractrices of a circle, are considered. Some new observations (including arc-length parametrization, Chezaro equation) and corrected reference informations are provided.

These notes have been written after a rather unsuccessful search for detailed information on tractrices of a circle. The most comprehensive description was found in the well-known monograph of Gino Loria [1]. We derive the natural parametrization of these curves and general Chezaro equation. "Internal tractrix", omitted in [1], is added to the classification of tractrices, proposed herein.

Let the point A move along a directed circle (whose curvature $K \lesseqgtr 0$ defines the direction of movement), pulling the mass point B , attached to A by the thread of the length T . Tractrix is the trajectory of B . The Chezaro equation of tractrix of the circle is

$$k^\pm(s; w, T) = \pm \frac{w - (1+w)e^{-\frac{s}{T}}}{T\sqrt{1 - [w - (1+w)e^{-\frac{s}{T}}]^2}}, \quad \text{where } w = \pm KT, \\ \text{and } w > -1$$

(plotted in Fig. 8). The following cases are described ($R = |K|^{-1}$):

- | | | | |
|------------|--|--------------|------------|
| T1: | external tractrix with a long thread $T > R$, | $w > 1$ | (Fig. 9a); |
| T2: | external tractrix with $T = R$ (polar, spiral tractrix), | $w = 1$ | (Fig. 9b); |
| T3: | external tractrix with $T < R$, | $0 < w < 1$ | (Fig. 9c); |
| T4: | tractrix of a straight line ($R = \infty$), | $w = 0$ | (Fig. 9d); |
| T5: | internal tractrix ($T < R$), | $-1 < w < 0$ | (Fig. 9e); |

(the case $w < -1$, $T < -R < 0$ produces reverse tractrix, like GF in Fig. 6). There is also a trivial case (Fig. 1d) when tractrix is a circle (or straight line). In Fig. 12 two tractrices of the curve $A_1A_2A_3$ are shown as the orthogonal trajectories of the family of circles, centered along $A_1A_2A_3$.

Fig. 4 shows involute $E_1E_2E_3$ of the circle of radius R as a tractrix of Archimedian spiral $A_1A_2A_3$. Fig. 7 illustrates periodic tractrices of periodic curves. Polar equations of tractrices are given in (17) (two misprints from [1] in polar equations $[p(t), \varphi(t)]$ are underbraced in Sec. 2.7).

Трактат о трактрисах

Алексей Курносенко

Аннотация

Эти заметки посвящены трактрисам плоских кривых, в частности — семейству трактрис окружности. Приводятся новые наблюдения (периодические трактрисы, натуральное уравнение трактрис окружности), справочная информация об этих кривых, предложена их классификация. Указаны неточности, перекочевавшие из классического описания [1] в современные справочники. Написано в духе курсовой работы старательного студента.

Если один конец (A) нерастяжимой нити AB вести вдоль кривой Z , то тяжёлая материальная точка, прикреплённая к концу B , опишет *трактрису* кривой Z (рис. 1). Кривая Z по отношению к трактрисе является *эквитангенциальной кривой*.

Часто просто трактрисой называют трактрису прямой линии (рис. 1b). Эта кривая хорошо известна и подробно описана. Описания трактрис окружности более скупы и местами ошибочны. Обычно рассматривается трактриса с длиной поводка, равной радиусу окружности, называемая *спиральной* или *полярной* трактрисой (рис. 1c). Для этих двух кривых известны и натуральные уравнения, частные случаи полученного ниже общего уравнения (9).

Видимо, наиболее полное описание трактрис окружности дано в классическом труде [1], однако в нём допущены неточности, перекочевавшие и в другие справочники. Пытаясь приостановить их распространение, мы обратим на них особое внима-

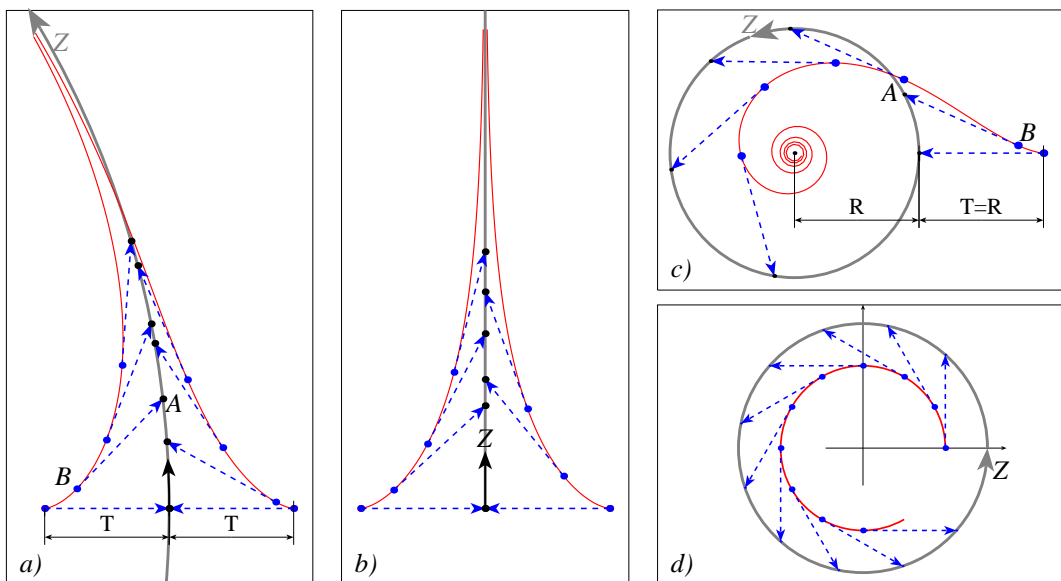


Рис. 1. Образование трактрисы кривой Z (окружности, прямой)

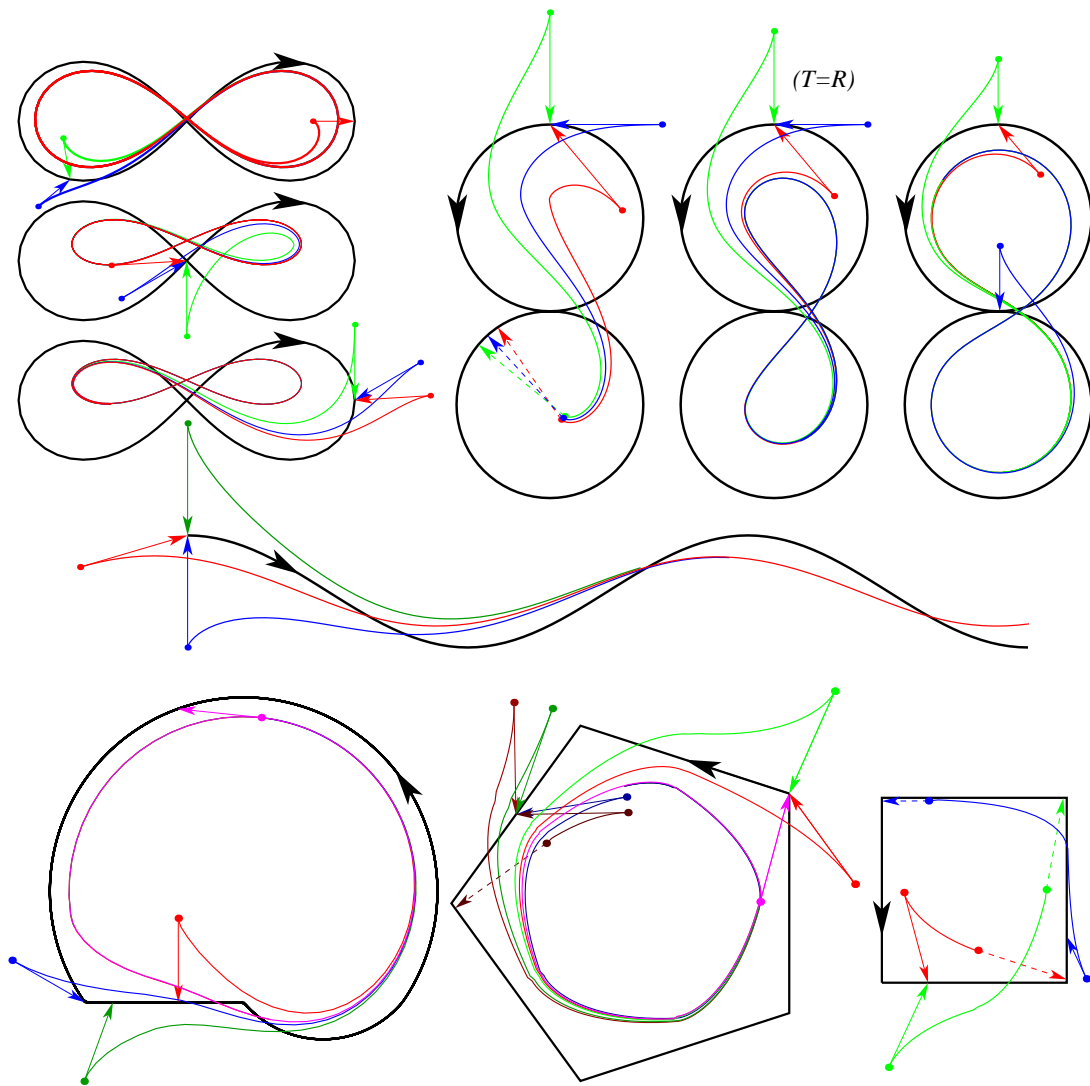


Рис. 2. Трактрисы некоторых кривых (лемниската, восьмёрка, синусоида, составной контур, пятиугольник, квадрат). Чёрная кривая — ведущая (её ориентация указана).

ние (п. 2.7). История исследования этих кривых, свойства и приложения трактрисы прямой описаны в [2].

На рис. 2 показаны трактрисы нескольких кривых. Сплошные векторы указывают начальное положение ведомой точки, пунктирные — положение в точке останова (если произошло ослабление нити).

1. Трактриса произвольной кривой

1.1. Построение трактрисы

Пусть $u(l), v(l)$ — текущее положение ведущей точки A на данной кривой, l — натуральный параметр. Угол $\theta(l) = \arg(u'_l + iv'_l)$ определяет направление её касательной (рис. 3). Точки искомой трактрисы обозначим $x(l), y(l)$; $\tau(l) = \arg(x'_l + iy'_l)$ — направление касательной к ней, совпадающее с направлением натянутой нити (вектора \vec{BA}). Тогда при длине нити T

$$\begin{aligned} x(l) &= u(l) - T \cos \tau(l), \\ y(l) &= v(l) - T \sin \tau(l). \end{aligned} \tag{1}$$

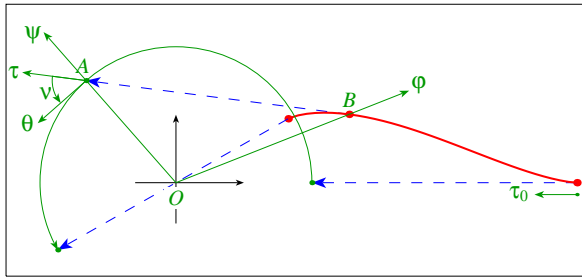


Рис. 3. К выводу натурального уравнения трактрисы

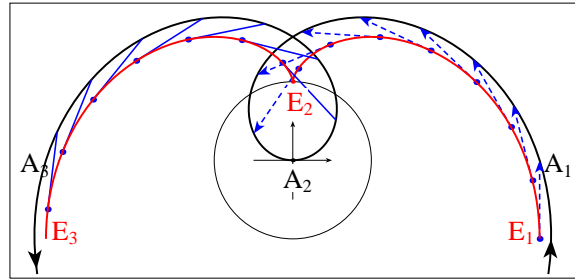


Рис. 4. Эвольвента окружности ($E_1E_0E_2$) как трактриса спирали Архимеда ($A_1A_0A_2$)

Натуральный параметр трактрисы обозначим s . Дифференцируем по l :

$$\begin{aligned} \frac{dx}{ds} \frac{ds}{dl} &= \frac{du}{dl} + T \sin \tau \frac{d\tau}{dl}, & \cos \tau \frac{ds}{dl} &= \cos \theta + T \sin \tau \frac{d\tau}{dl}, \\ \frac{dy}{ds} \frac{ds}{dl} &= \frac{dv}{dl} - T \cos \tau \frac{d\tau}{dl}, & \sin \tau \frac{ds}{dl} &= \sin \theta - T \cos \tau \frac{d\tau}{dl}. \end{aligned} \quad \Rightarrow$$

Решая линейную относительно τ'_l, s'_l систему, получаем

$$\tau'_l = \frac{\sin(\theta - \tau)}{T}, \quad (2)$$

$$s'_l = \cos(\theta - \tau). \quad (3)$$

Решения $\tau(l)$ уравнения (2) с известной функцией $\theta(l)$ достаточно для построения трактрисы по формулам (1). Проинтегрировав затем (3), мы находим $s(l)$ и обратную функцию $l(s)$, что позволяет перейти к натуральной параметризации трактрисы.

Вошедший в эти уравнения угол между направлениями движения двух точек, $\theta - \tau$, должен быть острым, иначе нить не будет тянуть точку B :

$$\nu(l) = \theta(l) - \tau(l), \quad -\frac{\pi}{2} \leq \nu(l) \leq \frac{\pi}{2}. \quad (4)$$

При $\nu = \pm\pi/2$ траектория начинается или прекращается. Подстановка (4) оставляет в уравнении (2) переменные, не зависящие от выбора системы координат:

$$\frac{d\nu}{dl} = q(l) - \frac{\sin \nu(l)}{T}, \quad (5)$$

где $q(l) = \theta'_l(l)$ — кривизна кривой $[u(l), v(l)]$. Натуральное уравнение искомой трактрисы получим так:

$$k(s) = \frac{d\tau}{ds} = \frac{d\tau}{dl} \cdot \frac{dl}{ds} = \frac{\sin(\theta - \tau)}{T} \cdot \frac{1}{\cos(\theta - \tau)} = \frac{1}{T} \operatorname{tg} \nu(l(s)). \quad (6)$$

Существование, единственность и непрерывная зависимость решений уравнения (5) от начальных условий обеспечивается выполнением условия Липшица:

$$\left| \frac{d\nu_1}{dl} - \frac{d\nu_2}{dl} \right| = \frac{2}{T} \left| \sin \frac{\nu_1 - \nu_2}{2} \cos \frac{\nu_1 + \nu_2}{2} \right| \leq \frac{|\nu_1 - \nu_2|}{T}. \quad (7)$$

1.2. Трактрисы типа «тяги-толкай»

Теперь заменим нить стержнем, полагая, что при достижении положения, в котором нить бы ослабла, стержень будет продолжать работать в режиме толкания ведомой точки. Будем считать, что толкание происходит по траектории, которая

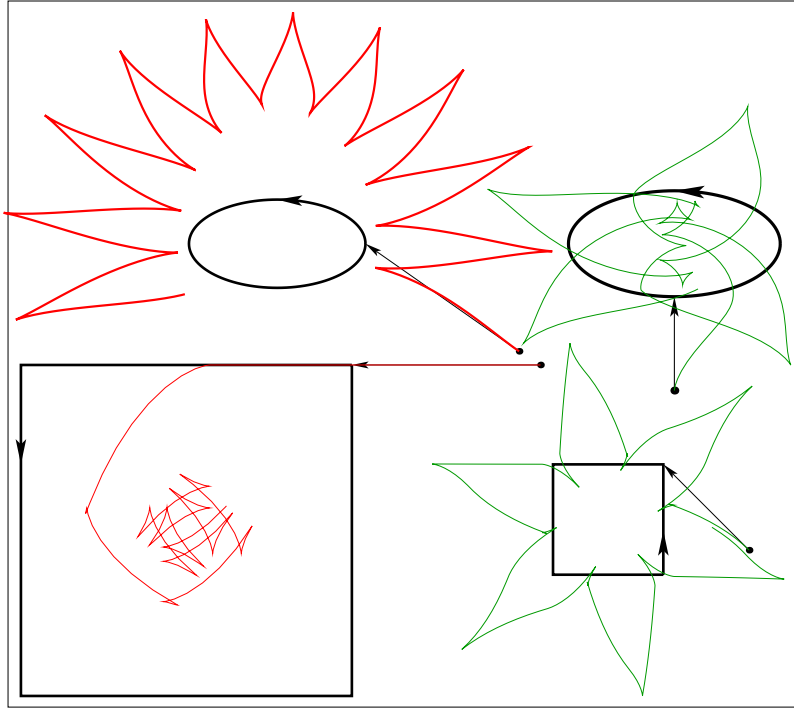


Рис. 5. Траектории типа «тяги-толкая» для эллипса и квадрата

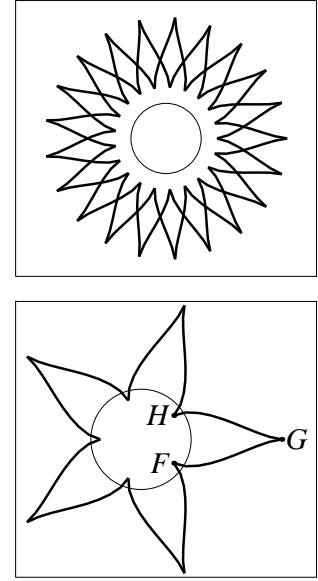


Рис. 6. Звёздчатые траектории окружности

образовалась бы при выполнении обратного движения в режиме «тяги», и рассматривать траекторию толкания как реверсную по отношению к траектории с нитью. Тогда мы остаёмся в рамках модели (1) с заменой T на кусочно-постоянную функцию $T \operatorname{sgn} \cos \nu(l) = \pm T$, отрицательную в режиме толкания.

Кривая $A_1A_2A_3$ на рис. 4 — спираль Архимеда $p(\varphi) = R\varphi$ (ветвь A_1A_2 соответствует $\varphi < 0$). Легко убедиться, что при длине нити-стержня $T = R$ получим в качестве одной из траектис кривую $E_1E_2E_3$ — эвольвенту окружности радиуса $R = |A_2E_2|$. Режим «тяги» показан на рисунке пунктирными стрелками (E_1A_1); их направление совпадает с касательной к траектисе. Переключение режима происходит в точке E_2/A_2 , бывшей точке останова, теперь — точке возврата. Направление касательной меняется в ней скачком.

Примеры траектис типа «тяги-толкая» приведены также на рис. 5 и 6.

1.3. Теорема о периодических траектисах

Следующее утверждение мы докажем в ослабленном варианте, ограничив кривизну ведущей кривой, а проиллюстрируем без этого ограничения (рис. 7).

Теорема. У периодической кривой ограниченной кривизны существует семейство периодических траектис.

Доказательство. Если кривизна ограничена, т.е. $|q(l)| < \infty$, то длину нити можно ограничить минимальным радиусом кривизны:

$$T < \min |1/q(l)|, \quad \text{т.е.} \quad |q(l)T| < 1. \quad (8)$$

Тогда, если $\nu(l)$ возрастает, приближаясь слева к $+\pi/2$, то $\nu'_l < 0$, и $\nu(l)$ начнёт убывать (5). Приближаясь справа к $-\pi/2$, убывающая функция $\nu(l)$ становится возрастающей. Таким образом, при начальных значениях $\nu(0) \in [-\pi/2, \pi/2]$ решения $\nu(l)$ более не выходят за пределы интервала $(-\pi/2, \pi/2)$, и мы всё время остаёмся в режиме тянущей нити.

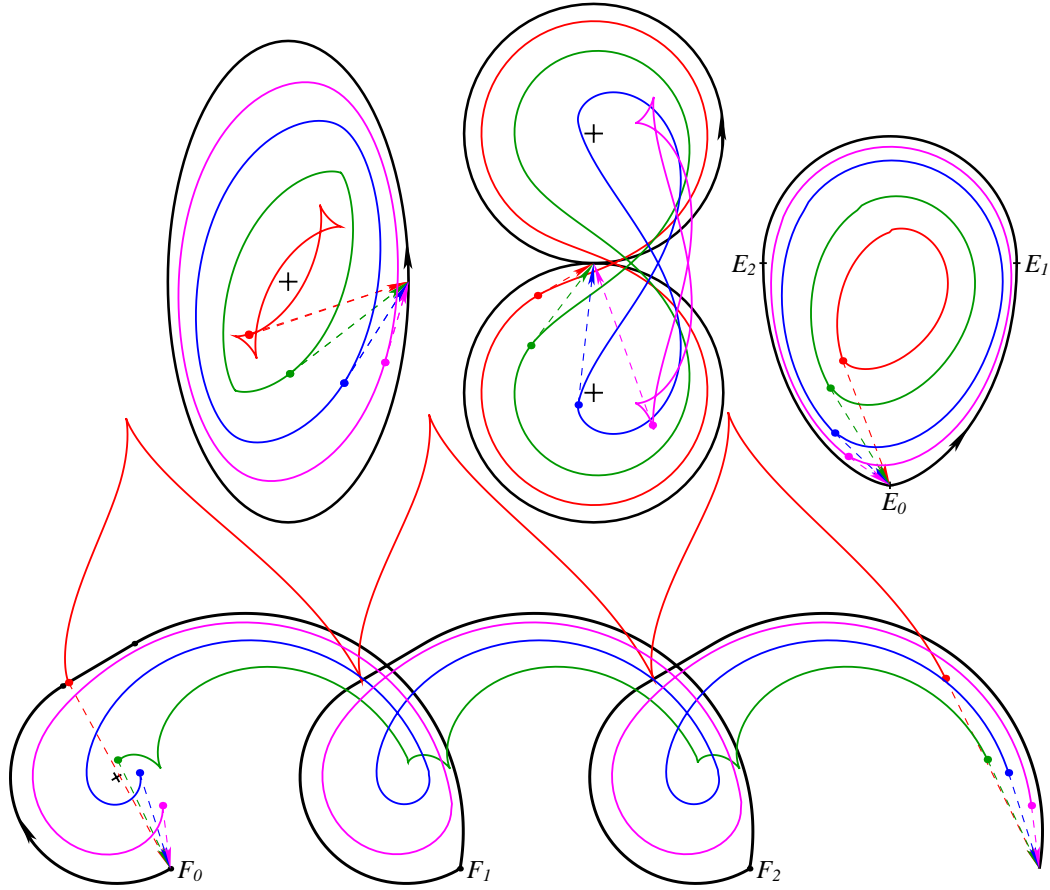


Рис. 7. Семейства периодических трактрис для четырёх периодических кривых

Пусть теперь $\nu_1(l)$ и $\nu_2(l)$ — два решения уравнения (5) с начальными условиями $\nu_1(0) < \nu_2(0)$, $\nu_{1,2}(0) \in [-\pi/2, \pi/2]$. Тогда для функции $\delta(l) = \nu_2(l) - \nu_1(l)$ справедливо

$$\delta(0) > 0 \quad \text{и} \quad \delta'_l = -\frac{1}{T}[\sin \nu_2(l) - \sin \nu_1(l)] = -\frac{2}{T} \sin \frac{\delta(l)}{2} \cos \frac{\nu_2(l) + \nu_1(l)}{2} < 0.$$

Ситуация $\exists l_0 : \delta(l_0) = 0$ невозможна, так как она бы означала нарушение единственности решения в окрестности точки $l = l_0$ (7). Следовательно, $\delta(l) > 0$, и $\delta(l)$ монотонно убывает. Два решения $\nu_1(l)$ и $\nu_2(l)$ сближаются, оставаясь внутри интервала $(-\pi/2, \pi/2)$. При $\nu_1(0) = -\pi/2$ и $\nu_2(0) = \pi/2$ мы получаем непрерывное и сжатое отображение отрезка $[-\pi/2, \pi/2]$ на отрезок $[\nu_1(L), \nu_2(L)]$, где L — период функции $q(l)$. Оно имеет неподвижную точку ν^* . Взяв её в качестве начального условия, получим искомое периодическое решение уравнения (5). Параметром полученного семейства служит длина нити T . \square

Условие ограниченности кривизны (8) на рис. 7 соблюдено не везде. Кривизны эллипса и восьмёрки ограничены, но в изображённые семейства включены также периодические трактрисы со значениями T , нарушающими условие (8). Гладкая кривая $E_0E_1E_2$ включает полуокружность E_1E_2 и две дуги эвольвенты окружности, E_0E_1 и E_2E_0 , с $k(E_0) = \infty$. У ведущей кривой $F_0F_1F_2$ имеются изломы, которые можно представить как импульсы кривизны (в виде дельта-функций Дирака). В иллюстрациях присутствуют режимы толкания, не рассмотренные в доказательстве.

Периодические трактрисы окружности представлены как тривиальная трактриса на рис. 1d и звёздчатые кривые на рис. 6.

2. Трактрисы окружности и прямой

Джино Лориа выводит дифференциальное уравнение трактрисы окружности радиуса a с поводком длины l в полярных координатах (ϱ, ω) в виде

$$\varrho^2 + \frac{2l\varrho d\varrho}{\sqrt{(d\varrho)^2 + \varrho^2(d\omega)^2}} = a^2 - l^2.$$

Мы получим полярные и параметрические уравнения этих кривых исходя из натурального уравнения

$$k^\pm(s; w, T) = \pm \frac{w - (1+w)e^{-\frac{s}{T}}}{T\sqrt{1 - [w - (1+w)e^{-\frac{s}{T}}]^2}}, \quad \begin{array}{l} \text{где } w = \pm KT, \\ \text{и } w > -1. \end{array} \quad (9)$$

Здесь $T > 0$ — длина поводка, $K \lesseqgtr 0$ — кривизна окружности, знак которой определяет ориентацию окружности (и тем самым направление движения ведущей точки). При этом, если поводок короче радиуса окружности, $T \lesseqgtr |K|^{-1}$, мы можем, в зависимости от начальных условий, получить трактрисы двух типов, ниже названные внешней и внутренней (есть и третья возможность — “тривиальная” трактриса, рис. 1d). При $T \gtrless |K|^{-1}$ только один из вариантов $w = \pm KT$ удовлетворяет условию $w > -1$, и существует единственная (внешняя) трактриса.

2.1. Вывод натурального уравнения

Пусть ведущая кривая — окружность кривизны $q(l) = K = \text{const}$ (радиуса $R = |K|^{-1}$), что включает и случай прямой, $K = 0$. Перейдём в (5) от длины дуги l окружности к длине дуги s трактрисы:

$$\nu'_s = \nu'_l \cdot l'_s = \left(K - \frac{\sin \nu}{T} \right) \cdot \frac{1}{\cos \nu}, \quad \text{т.е.} \quad \frac{d\nu}{ds} = \frac{KT - \sin \nu(s)}{T \cos \nu(s)}. \quad (10)$$

Уравнение (10) при $|KT| < 1$ имеет тривиальное решение

$$KT - \sin \nu(s) \equiv 0 \quad \Longrightarrow \quad \begin{array}{l} \nu(s) = \arcsin KT = \nu^* = \text{const}, \\ k(s) \stackrel{(6)}{=} \frac{1}{T} \text{tg } \nu^* = \text{const}, \end{array} \quad (11)$$

означающее движение ведомой точки по прямой (если $K = 0$) либо по окружности радиуса $\sqrt{R^2 - T^2}$ (рис. 1d).

Перемена знака выражения $KT - \sin \nu(s)$ в некоторой точке невозможна, ибо привела бы к переходу на тривиальную интегральную кривую (11) с нарушением единственности решения в окрестности этой точки. Из знакопостоянства числителя и всей правой части (10) следуют монотонность функции $\nu(s)$ и общее решение

$$s = \int_{\nu(0)}^{\nu(s)} \frac{T \cos \nu}{KT - \sin \nu} d\nu = -T \ln \frac{KT - \sin \nu(s)}{KT - \sin \nu(0)} \quad \Longrightarrow \quad \sin \nu(s) = KT - [KT - \sin \nu(0)] e^{-\frac{s}{T}}.$$

1. Пусть $\nu(s)$ возрастает. Тогда, если $\nu(0) > -\pi/2$, можно положить $\nu(0) = -\pi/2$, включив тем самым предысторию движения. Обозначив $w = +KT$, получаем

$$\sin \nu(s) = w - (1+w)e^{-\frac{s}{T}}, \quad \cos \nu(s) = \sqrt{1 - \sin^2 \nu(s)}. \quad (12)$$

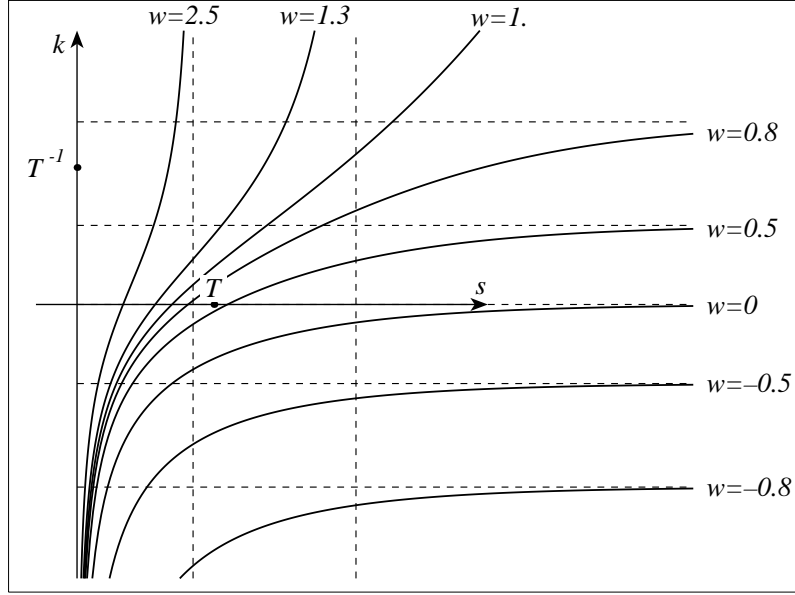


Рис. 8. Зависимость $k^+(s; w, T)$

Натуральное уравнение (6) для трактрисы окружности принимает вид $k^+(s; w, T)$ из (9). Отметим, что для $s \geq 0$ радикал в знаменателе действителен при

$$\begin{array}{lll} w > 1, & T > 0, & 0 \leq s \leq S_1, \\ -1 < w \leq 1, & T > 0, & 0 \leq s \leq \infty, \\ w < -1, & T < 0, & 0 \leq s \leq S_1, \end{array} \quad \text{где } S_1 = T \ln \frac{w+1}{w-1}. \quad (13)$$

Значение $T < 0$ в третьей строке соответствует в исходных уравнениях (1) режиму толкания и трактрисе, реверсной по отношению к трактрисе из первой строки.¹

2. Случай убывающей функции $\nu(s)$ сводится к предыдущему с помощью симметрии. При симметрии меняют знак ориентированный угол $\nu(s)$ [$\nu(0) = +\pi/2$] и кривизна K ведущей окружности. Приняв в этой ситуации $w = -KT$, мы сохраним значение параметра формы w и получим, как и следовало ожидать при симметрии, вариант $k^-(s; w, T)$ с убывающей кривизной.

2.2. Классификация трактрис окружности

Иллюстрации (Рис. 8, 9) соответствуют варианту k^+ в (9) (возрастание кривизны и угла ν).

Направим ведущую окружность (прямую) из начала координат по оси ординат (рис. 9). Тогда $\theta(0) = \pi/2$, и $\theta(l) = \pi/2 + Kl$. Начальному условию $\nu(0) = -\pi/2$ соответствуют направление касательной к трактрисе $\tau_0 \stackrel{(4)}{=} \theta(0) - \nu(0) = \pi$ и координаты ведомой точки $(T, 0)$.

¹Если имеется кривая $k(s)$, $s \in [0, S_1]$, то реверсную кривую можно получить как $-k(-s)$ либо, при конечной длине S_1 , как $-k(S_1 - s)$. Легко убедиться, что

$$-k^+(S_1 - s; w, T) \equiv k^+(s; -w, -T).$$

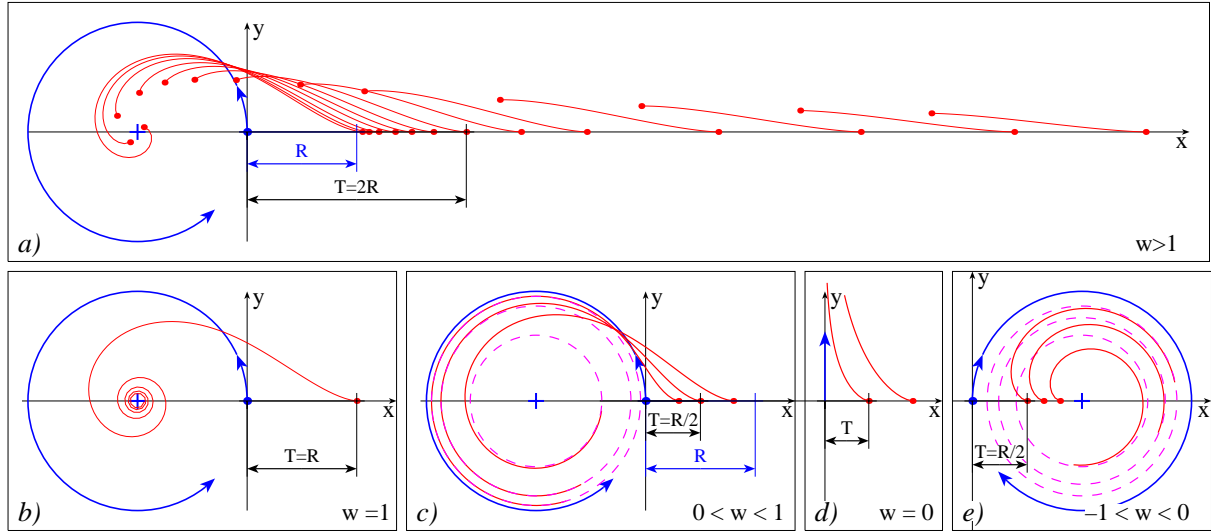


Рис. 9. Различные типы трактрис окружности

Окружности с положительной кривизной $K > 0$ уходят в левую полуплоскость (рис. 9a, b, c). Длина нити при $K \geq 0$ может быть произвольной: $w \geq 0$.

При $K < 0$ окружности уходят в правую полуплоскость (рис. 9e). Ведомая точка должна находиться внутри окружности, а нить должна быть короче радиуса окружности $T < R = -1/K$ (иначе изначальное натяжение нити сразу ослабнет). У трактрис этого типа $-1 < w < 0$.

Далее, игнорируя тривиальную трактрису (11), мы рассматриваем пять разновидностей трактрис окружности/прямой:

- T1:** внешняя трактриса на длинном поводке, $T > R$, $w > 1$;
- T2:** внешняя трактриса с $T = R$ (полярная, спиральная), $w = 1$;
- T3:** внешняя трактриса на коротком поводке $T < R$, $0 < w < 1$;
- T4:** трактриса прямой (поводок «короткий»: $T < R = \infty$), $w = 0$;
- T5:** внутренняя трактриса (поводок короткий), $-1 < w < 0$.

Длина трактрис T2–T5 неограничена. Окружность (прямая) (11) служит асимптотической кривой для трактрис T3, T4, T5. У трактрисы T2 асимптотическая окружность превращается в предельную точку.

Три внешние трактрисы имеют точку перегиба:

$$k(s_0; w, T) = 0 \quad \text{при} \quad s_0 = T \ln \frac{w+1}{w}.$$

Касательная к трактрисе в точке перегиба совпадает с касательной к окружности в соответствующей точке ($\nu(s) = 0 \Rightarrow k(s) = 0$).

2.3. Параметрические уравнения

Обозначения функций и параметров для конкретных типов мы иногда снабжаем индексом, например, $\tau_1(s)$, w_5 .

Далее мы используем замену переменных

$$s \rightarrow \nu(s) \rightarrow \nu(s) + \frac{\pi}{2} = \xi(s)$$

и вводим тем самым будущие параметры кривых ξ и t ,

$$\begin{aligned} \cos \xi(s) &\stackrel{(12)}{=} -\sin \nu = -w + (1+w)e^{-\frac{s}{T}}, & t = \operatorname{tg} \frac{\xi(s)}{2} &= \sqrt{\frac{1 - e^{-s/T}}{\frac{1-w}{1+w} + e^{-s/T}}}, \end{aligned} \quad (14)$$

удобные тем, что в начале кривой $\xi(0) = 0$ и $t = 0$. Тогда

$$ds = \frac{T \sin \xi}{w + \cos \xi} d\xi, \quad k(s) = -\frac{1}{T} \operatorname{ctg} \xi(s).$$

Определим функцию $l(s)$, связывающую длины дуг двух кривых:

$$l(s) \stackrel{(3)}{=} \int_0^s \frac{ds}{\cos \nu(s)} = \int_0^s \frac{ds}{\sin \xi(s)} = \int_0^{\xi(s)} \frac{T d\xi}{w + \cos \xi} = \frac{2T}{\sqrt{w^2-1}} \operatorname{arctg} \left[\frac{w-1}{\sqrt{w^2-1}} \operatorname{tg} \frac{\xi(s)}{2} \right].$$

Полученное выражение действительно и при мнимых значениях радикалов ($|w| < 1$) и, как предел, при $w = 1$:

$$l(s) = \begin{cases} l_1(s) &= \frac{2T}{\sqrt{w^2-1}} \operatorname{arctg} \left[\sqrt{\frac{w-1}{w+1}} \operatorname{tg} \frac{\xi(s)}{2} \right], & w > 1; \\ l_2(s) &= T \operatorname{tg} \frac{\xi(s)}{2}, & w = 1; \\ l_{3-5}(s) &= \frac{2T}{\sqrt{1-w^2}} \operatorname{arth} \left[\sqrt{\frac{1-w}{1+w}} \operatorname{tg} \frac{\xi(s)}{2} \right], & |w| < 1; \\ l_4(s) &= 2T \operatorname{arth} \operatorname{tg} \frac{\xi(s)}{2}, & w = 0; \end{cases} \quad (15)$$

$$\psi(s) = K l(s) = \frac{w}{T} l(s).$$

В последней строке записан выраженный в угловых единицах путь, пройденный ведущей точкой по окружности. При $K > 0$ движение соответствует вращению полярного радиуса против часовой стрелки (полус в центре $(-R, 0)$ ведущей окружности), и $\psi_{1,2,3}(s)$ есть просто полярный угол точки A (рис. 3, $\angle BOA$). При $K = 0$ имеем $\psi_4(s) \equiv 0$. Отрицательное и убывающее значение $\psi_5(s)$ отражает убывание полярного угла точки A , равного в этом случае $\pi + \psi(s)$ (полус в центре $(R, 0)$ ведущей окружности). Теперь входящие в (1) координаты (u, v) точки A могут быть представлены как

$$\begin{aligned} \text{T1, T2, T3: } & \begin{cases} u(s) = R \cos \psi(s) - R = \frac{T}{w} [\cos \psi(s) - 1], \\ v(s) = R \sin \psi(s) = \frac{T}{w} \sin \psi(s) \end{cases}, & \left[R = \frac{1}{K} = \frac{T}{w} \right]; \\ \text{T4: } & \begin{cases} u(s) = 0, \\ v(s) = l_4(s); \end{cases} \\ \text{T5: } & \begin{cases} u(s) = R \cos[\pi + \psi(s)] + R = \frac{T}{w} [\cos \psi(s) - 1], \\ v(s) = R \sin[\pi + \psi(s)] = \frac{T}{w} \sin \psi(s) \end{cases}, & \left[R = -\frac{1}{K} = -\frac{T}{w} \right]; \end{aligned}$$

Направление $\tau(s)$ касательной к трактрисе равно

$$\tau(s) = \tau(0) + \int_0^s k(\tilde{s}) d\tilde{s} = \pi + \int_0^{\xi(s)} \frac{-\cos \xi}{w + \cos \xi} d\xi = \pi + \psi(s) - \xi(s).$$

Располагая выражениями для u, v, τ , мы можем получить искомые функции $x(s), y(s)$ непосредственно по формулам (1) (т.е. без утомительного интегрирования $\cos \tau, \sin \tau$):

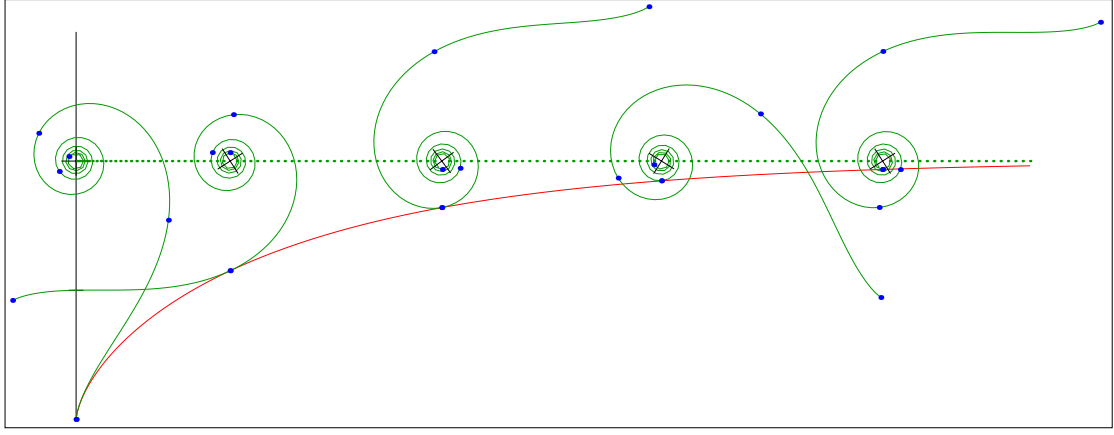


Рис. 10. Траектория полюса спиральной трактрисы при её качении по трактрисе прямой

$$T1, T2, T3, T5: \begin{cases} x(s) = T \left[\frac{\cos \psi(s) - 1}{w} + \cos[\psi(s) - \xi(s)] \right], \\ y(s) = T \left[\frac{\sin \psi(s)}{w} + \sin[\psi(s) - \xi(s)] \right]; \end{cases} \quad (16a)$$

$$T4: \begin{cases} x(s) = T \cos \xi(s), \\ y(s) = -T \sin \xi(s) + T \ln \frac{1 + \sin \xi(s)}{\cos \xi(s)}; \end{cases} \quad (16b)$$

Эти параметризации используют выражения (14) и (15) и соответствуют версии k^+ натурального уравнения (9).

2.4. Трактриса прямой.

Предельный переход $R \rightarrow \infty$ показан как *Рис. 1a* \rightarrow *Рис. 1b*: внутренняя и внешняя трактрисы окружности становятся левой и правой трактрисами ориентированной прямой. Для правой трактрисы

$$k_4(s) = k^+(s; 0, T) = \frac{-1}{T \sqrt{e^{\frac{2s}{T}} - 1}}, \quad \begin{aligned} \cos \xi(s) &= e^{-\frac{s}{T}}, \\ \sin \xi(s) &= \sqrt{1 - e^{-\frac{2s}{T}}}, \end{aligned} \quad t = \sqrt{\frac{1 - e^{-\frac{s}{T}}}{1 + e^{-\frac{s}{T}}}},$$

а уравнения (16b) можно записать как


$$x_4(s) = T e^{-\frac{s}{T}}, \quad y_4(s) = T \left(\operatorname{arth} \sqrt{1 - e^{-\frac{2s}{T}}} - \sqrt{1 - e^{-\frac{2s}{T}}} \right), \quad 0 \leq s < \infty,$$

либо

$$x_4(t) = T \frac{1 - t^2}{1 + t^2}, \quad y_4(t) = T \ln \frac{1 + t}{1 - t} - \frac{2Tt}{1 + t^2}, \quad 0 \leq t < 1.$$

Явное уравнение описывает и левую, и правую трактрисы (в положении на рис. 1b):

$$y(x) = T \left(\operatorname{arth} \sqrt{1 - \frac{x^2}{T^2}} - \sqrt{1 - \frac{x^2}{T^2}} \right).$$

Чаще трактриса прямой рассматривается в таком положении: .

Упомянем здесь свойство, приведённое в [4]: *если полярную трактрису с поводком длины T_2 катить по трактрисе некоторой прямой с поводком длины $T_4 = 2T_2$ совместив начальные положения, то предельная точка полярной трактрисы будет двигаться по этой прямой* (рис. 10).

2.5. Полярные уравнения

Для вывода полярных уравнений перейдём в систему координат с началом в центре ведущей окружности (при этом в (16а) исчезнет слагаемое -1):

$$p(\xi) = R\sqrt{1 + 2w \cos \xi + w^2}, \quad R = \frac{1}{|K|} = \left| \frac{T}{w} \right|.$$

Здесь p — полярный радиус точки. Простые преобразования приводят к выражениям (с заменой $\operatorname{tg} \frac{\xi}{2} = t$):

$$\begin{aligned} p(t) &= R\sqrt{1 + 2w\frac{1-t^2}{1+t^2} + w^2}, \\ \varphi_1(t) &= \frac{2w}{\sqrt{w^2-1}} \operatorname{arctg} \left(\sqrt{\frac{w-1}{w+1}} t \right) - \operatorname{arctg} \left(\frac{w-1}{w+1} t \right) - \operatorname{arctg} t, \quad 0 \leq t \leq \infty; \\ \varphi_2(t) &= t - \operatorname{arctg} t, \quad 0 \leq t < \infty; \quad (17) \\ \varphi_{3,5}(t) &= \frac{2w}{\sqrt{1-w^2}} \operatorname{arth} \left(\sqrt{\frac{1-w}{1+w}} t \right) + \operatorname{arctg} \left(\frac{1-w}{1+w} t \right) - \operatorname{arctg} t \equiv \\ &\equiv \frac{w}{\sqrt{1-w^2}} \ln \frac{\sqrt{1+w} + t\sqrt{1-w}}{\sqrt{1+w} - t\sqrt{1-w}} + \operatorname{arctg} \frac{2t}{w+1 + (w-1)t^2}, \quad 0 \leq t < \sqrt{\frac{1+w}{1-w}}. \end{aligned}$$

Для $\varphi_5(t)$ дополнительно введён поворот кривой на 180° в «более каноничное» положение, такое, что $\varphi(0) = 0$. Трактриса Т5 в представленном виде вращается в сторону уменьшения полярного угла.

Положив для трактрисы Т1 $w = \operatorname{ch} \omega$, $q = \operatorname{th} \frac{\omega}{2}$, получим

$$p_1(t) = \frac{2R}{1-q^2} \sqrt{\frac{1+q^4t^2}{1+t^2}}, \quad \varphi_1(t) = (q+q^{-1}) \operatorname{arctg}(qt) - \operatorname{arctg}(q^2t) - \operatorname{arctg} t.$$

Положив для трактрисы Т3, Т5 $w = \cos \omega$, $q = \operatorname{tg} \frac{\omega}{2}$, получим

$$p_{3,5}(t) = \frac{2R}{1+q^2} \sqrt{\frac{1+q^4t^2}{1+t^2}}, \quad \varphi_{3,5}(t) = (q-q^{-1}) \operatorname{arth}(qt) + \operatorname{arctg}(q^2t) - \operatorname{arctg} t.$$

Полярные уравнения можно представить в явном виде. Так, для спиральной трактрисы

$$\varphi_2(p) = -\operatorname{arctg} \frac{\sqrt{4T^2-p^2}}{p} + \frac{\sqrt{4T^2-p^2}}{p} \equiv -\arccos \frac{p}{2T} + \frac{\sqrt{4T^2-p^2}}{p}. \quad (18)$$

Трактриса Т1 ограниченной длины S_1 (13) ограничена и по φ , и заключена в полярном секторе ширины

$$\Delta\varphi = \varphi_1(\infty) - \varphi_1(0) = \varphi_1(\infty) = \pi \left(\frac{w}{\sqrt{w^2-1}} - 1 \right).$$

На рис. 6 параметр w подобран так, чтобы образовались периодические звёздчатые кривые.

У трактрисы GH на рис. 6 имеется симметричная ветвь FG ($t < 0$), являющаяся реверсной по отношению к трактрисе GF . Вернувшись от параметра $t \in [-\infty, +\infty]$ к $\xi \in [-\pi, \pi]$, кривую FGH можно периодически продолжить на $\xi \in (-\infty, +\infty)$ и получить кривые в режиме «тяги-толкай».

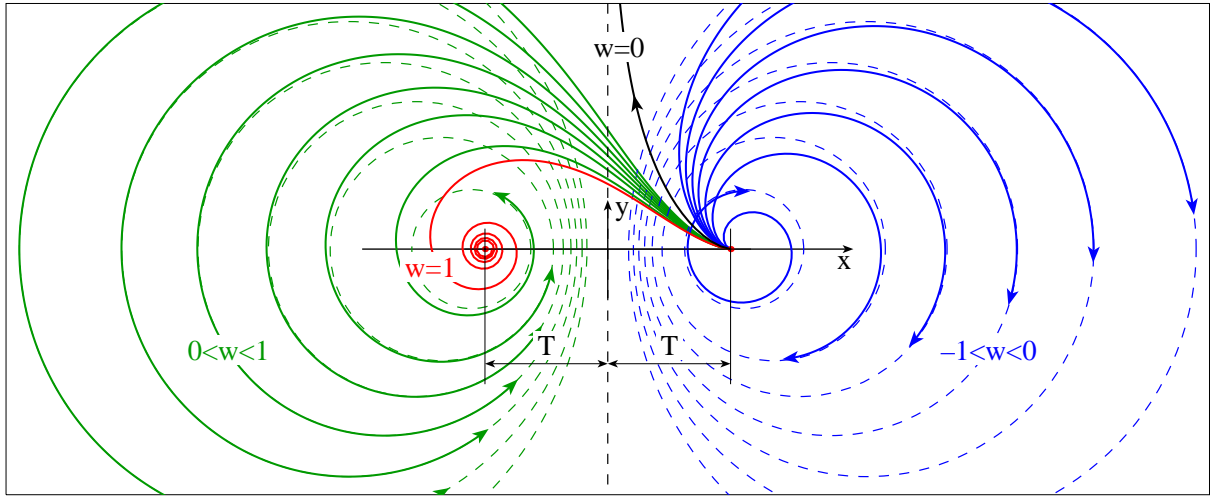


Рис. 11. Пучок окружностей, асимптотических линий пучка трактрис

2.6. Пучок трактрис

Семейство трактрис на коротком поводке ($|w| < 1$) фиксированной длины T и одинаковыми начальными условиями $x(0)$, $y(0)$, $\tau(0)$ назовём *пучком трактрис* (рис. 11). Пунктиром на рисунке изображены асимптотические линии пучка — прямая и предельные окружности. Оказывается, что

асимптотические линии пучка трактрис образуют гиперболический пучок окружностей с расстоянием между фокусами $2T$. В одном из его фокусов находится общая начальная точка кривых семейства, в другом — предельная точка трактрисы $T2$. Асимптота трактрисы прямой служит радикальной осью пучка.

Действительно, у трактрисы $T3$ с параметром формы $w > 0$ общий центр ведущей и предельной окружностей расположен в точке $(-R, 0) = (-T/w, 0)$, у трактрисы $T5$ ($w < 0$) — в точке $(R, 0) = (-T/w, 0)$. Радиусы предельных окружностей равны $\sqrt{R^2 - T^2} = T\sqrt{1 - w^2}/|w|$. Их неявные уравнения

$$\left(x + \frac{T}{w}\right)^2 + y^2 - \frac{T^2(1 - w^2)}{w^2} = 0$$

преобразуются к виду $w(x^2 + y^2 + T^2) + 2x = 0$, включающему при $w = 0$ и ось ординат — асимптоту трактрисы прямой.

2.7. Ошибочные уравнения трактрис окружности

Полярные уравнения трактрис приводятся в [1] в виде (с заменой обозначений $\theta \rightarrow t$, $\omega \rightarrow \varrho$, $\varrho \rightarrow p$)

$$p(t) = \sqrt{a^2 + l^2 + 2al\frac{1-t^2}{1+t^2}},$$

$$\varphi(t) = \begin{cases} \arctg t - t & (a = l), \\ \underbrace{\arctg \frac{2lt}{(a+l) + (a-l)t^2} + \frac{2l}{n} \arctg \left(\sqrt{\frac{l-a}{l+a}} t\right)}_{\text{ошибка!}} & (a < l), \\ \arctg \frac{2lt}{(a+l) + (a-l)t^2} - \frac{l}{n} \ln \frac{a+l+nt}{a+l-nt} & (a > l), \end{cases}$$

где $n^2 = a^2 - l^2$.

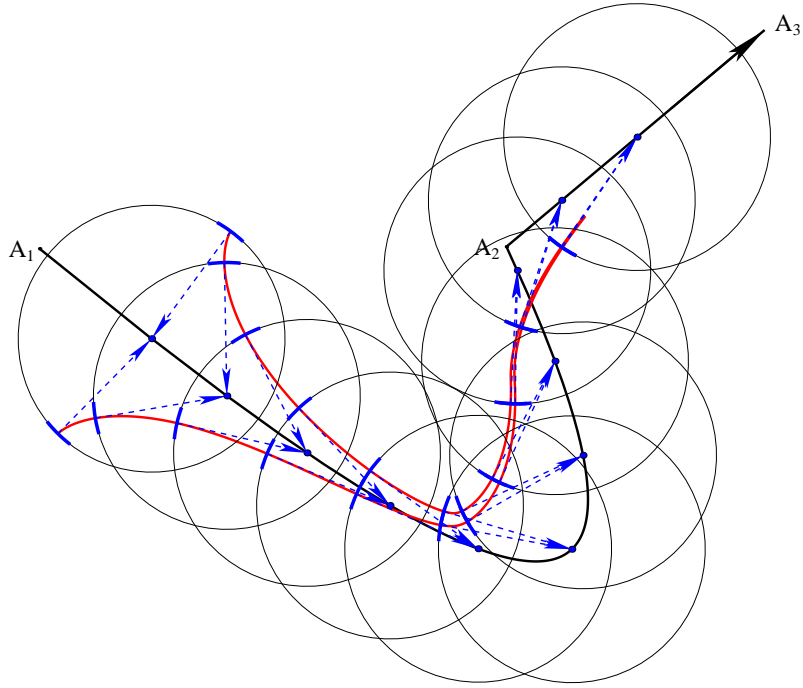


Рис. 12. Трактриса как ортогональная траектория семейства окружностей

Это соответствует трактрисам Т2, Т1 и Т3 с $a = R$, $l = T$. Отметим, что в строке $a < l$ значение n становится мнимым. Но и с заменой n на $-\sqrt{l^2 - a^2}$ остаётся ошибка в первом слагаемом. При переходе через $t = t_0 = \sqrt{\frac{l+a}{l-a}}$ оно претерпевает скачок от $+\pi/2$ до $-\pi/2$, и на кривой образуется разрыв.²

Здесь также упущена трактриса Т5, которая получилась бы при дополнении случая $a > l$ условиями $a < 0$, $|a| > l$.

В [1, 2, 3], наряду с правильным полярным уравнением (18) трактрисы Т2 приводится ошибочный вариант:

$$\varphi(p) = - \underbrace{\arcsin}_{\arccos!} \frac{p}{2T} + \frac{\sqrt{4T^2 - p^2}}{p} \quad \left[\Rightarrow \text{рис.} \right].$$

3. Трактрисы как ортогональные траектории

На рис. 12 ведущая кривая $A_1A_2A_3$ составлена из параболы и прямой. Показаны две трактрисы этой кривой. Рисунок призван проиллюстрировать следующий вполне очевидный факт (иногда упоминаемый как свойство трактрисы прямой):

трактриса кривой, построенная с поводком длины T , является ортогональной траекторией семейства окружностей радиуса T , центры которых лежат на данной кривой.

²К ошибке привело, по-видимому, использование формулы

$$\operatorname{arctg} x + \operatorname{arctg} y = \operatorname{arctg} \frac{x+y}{1-xy}, \quad \text{если } |xy| < 1 \text{ либо } \operatorname{sgn} x \neq \operatorname{sgn} y,$$

без учёта условий её применимости, нарушающихся при $t \geq t_0$.

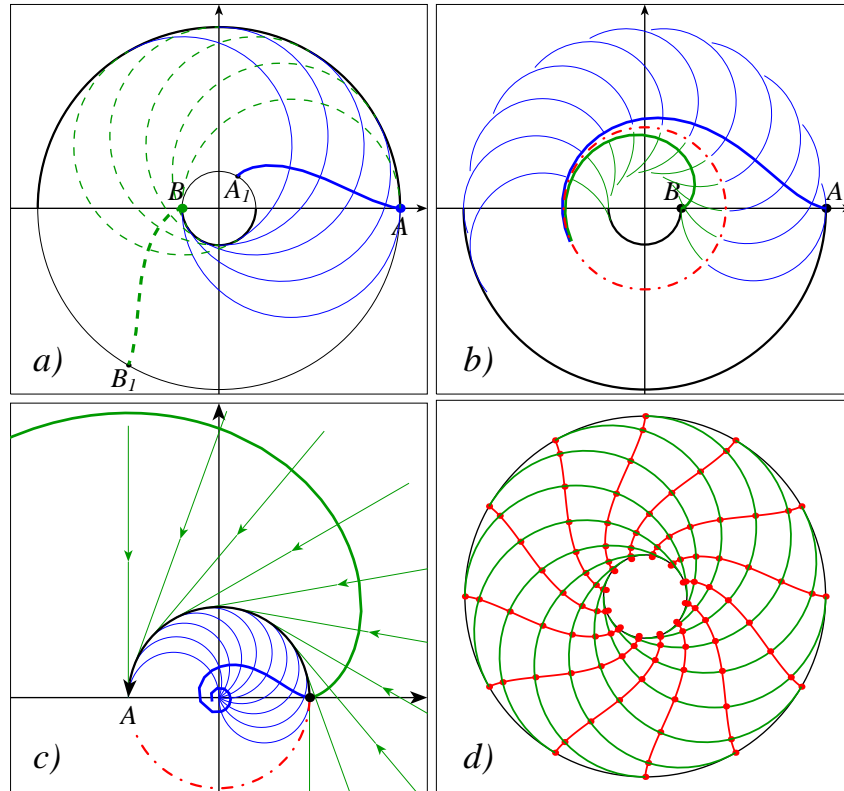


Рис. 13. Ортогональные траектории семейств коциклических окружностей

Рассмотрим трактрису окружности как ортогональную траекторию семейства окружностей радиуса $T > 0$, центры которых лежат на данной окружности радиуса $R > 0$. Это семейство имеет две огибающие — окружности радиусов $R+T$ и $|R-T|$.

На рис. 13a сплошными линиями показано семейство (полу)окружностей для случая $T > R$ и трактриса AA_1 (вида Т1) в качестве ортогональной траектории семейства. Пунктиром показана инверсная конфигурация

$$(x', y') = \frac{I^2}{x^2 + y^2} \cdot (x, y), \quad I^2 = R^2 - T^2$$

со степенью инверсии $I^2 < 0$. Это *гиперболическая* инверсия: она, в отличие от обычной (эллиптической), предполагает дополнительно поворот на 180° . Образом точки A является точка B , полуокружности переходят в свои дополнения до полной окружности. Из сохранения углов при инверсии мы можем заключить, что одна ортогональная траектория преобразуется в другую, и трактриса AA_1 (типа Т1) преобразуется в реверсную трактрису BB_1 .

На рис. 13b $T < R$. Окружность инверсии, показанная штрих-пунктиром, в этом случае действительна: $I^2 > 0$. Получаем трактрисы Т3 и Т5 в качестве ортогональных траекторий, также являющиеся инверсными образами друг друга. Окружность инверсии совпадает с предельными окружностями каждой из двух трактрис и является ещё одной — тривиальной — ортогональной траекторией (11).

Наконец, при $T = R$ получаем семейство коциклических окружностей, показанное на рис. 13c, и полярную трактрису Т2. При инверсии этой конфигурации относительно окружности A (огibaющей семейства) получим семейство прямых, касаю-

щихся A , и их ортогональную траекторию, являющуюся, как известно, эвольвентой окружности A [2, стр. 252].

Разбиение кругового кольца на «криволинейные прямоугольники» с помощью семейства окружностей и ортогонального ему семейства трактрис показано на рис. 13*d*.

* * *

Отметим в заключение, что в последние годы в области Computer-Aided Design сильно возрос интерес к кривым с монотонно изменяющейся кривизной. В рамках этих приложений их называют *спиральями* (об этом см. в [5]). Исследование спиралей и коллекционирование их образцов и привлекло внимание автора к трактрисам окружности.

Литература

Литература

- [1] Loria G. Spezielle algebraische und transscendente ebene Kurven. Theorie und Geschichte. Leipzig, 1902, стр. 562–574.
- [2] Савёлов А.А. Плоские кривые. Систематика, свойства, применение (справочное руководство). — Москва: Физматгиз, 1960.
- [3] Шикин Е.В., Франк-Каменецкий М.М. Кривые на плоскости и в пространстве. — М.: ФАЗИС, 1997.
- [4] Сайт <http://www.mathcurve.com/courbes2d/courbes2d.shtml> (статьи «Spirale tractrice», «Tractoire de cercle», «Tractrice»).
- [5] Курносенко А.И. Общие свойства плоских спиральных кривых. *Записки науч. сем. ПОМИ им. Стеклова*, т. 353(2008), 93–115.